

基础研究

真核表达人 Wnt7b 基因建立软骨细胞退变模型

王小军¹, 张浩¹, 郑杰², 庞坚^{3,4}, 曹月龙^{3,4}, 詹红生^{3,4}, 丁道芳^{3,4}¹浙江中医药大学附属湖州市中医院, 浙江 湖州 313000; ²上海吉凯基因化学技术有限公司, 上海 201203; ³上海中医药大学附属曙光医院石氏伤科医学中心, 上海 201203; ⁴上海市中医药研究院骨伤科研究所, 上海 201203

摘要:目的 在真核细胞中表达人 Wnt7b 基因并且观察对大鼠原代软骨细胞的退变作用。方法 取出生 24 h SD 大鼠关节处软骨, II 型胶原酶多次消化后获得原代软骨细胞, 取 P1 代细胞进行实验。扩增人 Wnt7b 基因及克隆至 PCDH-GFP 上, 转染 PCDH-GFP 和 PCDH-Wnt7b 至 293ft 细胞中, 48 h 后收集细胞上清及转染细胞, Western blot 鉴定 Wnt7b 在 293ft 细胞中的表达。收集的上清分别稀释 10 倍和 50 倍培养大鼠软骨细胞, 24 h 后观察细胞形态并收集细胞蛋白和抽提 RNA, Western blot 和定量 PCR 检测软骨退变指标 MMP13、MMP3、II 型胶原、A-can、ADAMTS5、Col X 和 SOX9 的表达。结果 成功克隆人 Wnt7b 基因至 PCDH-GFP 载体上且在 293ft 细胞中得到有效表达。含 Wnt7b 培养基干预软骨细胞 24 h 后, 软骨细胞形态由原来的多角形变成长梭形, Wnt7b 处理组软骨细胞 MMP13 和 MMP3 表达显著上调, II 型胶原的表达下调。PCR 结果表明 A-can 和 Sox9 表达下降, Col X 和 ADAMTS5 表达增强。结论 有效在真核细胞中表达 Wnt7b 基因并且促进大鼠软骨细胞退变, 建立软骨细胞退变的体外模型。

关键词: Wnt7b 基因; 293ft 细胞; 软骨细胞; 转染; 细胞退变

Establishment of a chondrocyte degeneration model by over-expression of human Wnt7b gene in 293ft cell line

WANG Xiaojun¹, ZHANG Hao¹, ZHENG jie², ZHENG yuxin^{3,4}, CAO Yuelong^{3,4}, ZHAN Hongsheng^{3,4}, SHI Yinyu^{3,4}, DING Daofang^{3,4}¹Huzhou Hospital of TCM Affiliated to Zhejiang Chinese Medical University, Huzhou 313000, China; ²Shanghai Genechem Co. Ltd, Shanghai 201203, China; ³Shi's Center of Orthopedics and Traumatology, Shuguang Hospital Affiliated to Shanghai University of TCM, Shanghai 201203, China; ⁴Institute of Traumatology and Orthopedics, Shanghai Academy of Traditional Chinese Medicine, Shanghai 201203, China

Abstract: Objective To investigate the role of human Wnt7b gene in rat chondrocyte degeneration. **Methods** Wnt7b gene obtained by PCR was cloned to PCDH-GFP. 293ft cell line was transfected with PCDH-GFP and PCDH-Wnt7b, and the supernatant and transfected cells were collected. The expression level of Wnt7b in 293ft cells was detected by Western blotting. The first passage of chondrocytes were isolated from articular cartilages of newborn born (within 24 h) SD rats were cultured in the supernatants from the transfected cells (at 10- and 50-fold dilutions). The cell morphology of the rat chondrocytes was observed under inverted microscope, and the protein expressions of MMP13, MMP3 and type II collagen and mRNA expressions of A-can, ADAMTS5, Col X and Sox9 were examined by Western blotting or real-time PCR. **Results** Human Wnt7b gene cloned to PCDH-GFP was expressed efficiently in 293ft cell line. Rat chondrocytes cultured for 24 h in the supernatants from PCDH-Wnt7b-transfected 293ft cells underwent changes from a polygonal to a spindle-shaped morphology. The protein expression levels of MMP13 and MMP3 increased while type II collagen decreased significantly, and the mRNA levels of A-can and Sox9 were down-regulated while Col X and ADMATS5 up-regulated in ratchondrocytes after incubation in supernatants from PCDH-Wnt7b-transfected 293ft cells. **Conclusion** Human Wnt7b gene can be expressed efficiently in 293ft cell line and can induce rat chondrocyte degeneration *in vitro*.

Key words: Wnt7b gene; 293ft cell line; chondrocytes; transfection; chondrocytes degeneration

正常的软骨结构是由细胞外基质如 II 型胶原和可聚蛋白聚糖 (aggrecan 为主) 组成。为维持软骨结构完整, 基质成份通过基质降解酶如 MMP13 和 ADAMTS5

不断进行更新和重塑, 基质的降解和合成基质同时进行, 从而维持软骨结构的完整^[1-4]。当软骨组织中这种合成和降解失衡时, 软骨细胞退变和炎症。

Wnts/ β -catenin 信号通路是最常见的调控软骨退变和骨关节炎信号通路之一^[5], 关于软骨退变的治疗研究以 Wnts/ β -catenin 信号通路为靶点^[6-9], 此通路的激活由其上游因子激活, 在众多的 Wnt 分子中, 目前发现 Wnt7b 分子和软骨退变及骨关节炎的发病最为密切^[10]。Wnt7b 目前无商业化生产, 对骨关节炎机制的研究存在局限性, 尤其针对由此通路的药物筛选更为局限。因此本

收稿日期: 2014-09-21

基金项目: 国家自然科学基金 (81073114, 81072830); 上海市教委创新项目 (11YZ64); 上海市高校青年教师培养资助计划 (ZZszy12017)

Supported by National Natural Science Foundation of China (81073114, 81072830).

作者简介: 王小军, 主治医师, E-mail: 32306724@qq.com

通信作者: 丁道芳, 博士, 副研究员, E-mail: 051101049@fudan.edu.cn

研究针对此,在真核细胞中表达 Wnt7b 因子并且对其致软骨退变的功能进行鉴定,并建立体外的软骨退变模型。

1 材料与方法

1.1 实验材料

1.1.1 动物 新生 SD 大鼠 8 只购自上海西普尔-必凯实验动物有限公司,动物合格证号:SCXK(沪 2013-0016)。
1.1.2 药物与试剂 高糖 DMEM 培养基、胎牛血清、胰蛋白酶、双抗、磷酸盐缓冲液片剂均购自于 Biowest; II 型胶原酶(美国 Sigma); GAPDH (CST#2118S)、Col2a1 (SC-52658), MMP13 (SC-30073), MMP3 (17873-1-AP), Wnt7b (Santacruz), 山羊抗兔二抗(货号 7074P2); RIPA 裂解液、PMSF 购自上海碧云天公司; BCA 蛋白定量试剂盒(美国 Pierce 产品); trizol 试剂(Invitrogen), AMV 逆转录酶(Takara)。重组酶(Novoprotein), PCDH-GFP 载体(SBI)。

1.2 方法

1.2.1 软骨细胞培养和形态学观察 采用本研究所已经成熟的软骨细胞培养方法,将 10 只新生 24 h SD 大鼠 75% 酒精浸泡 5 min 麻醉处死,取出四肢关节处软骨,0.1% 的 II 型胶原酶消化 1 h,重复 3~4 次,收集消化的细胞悬液,1000 r/min,离心 10 min 取细胞沉淀,培养于含 10% FBS 及双抗的高糖 DMEM 培养基中。取 P1 代细胞进行实验。分别用对照培养基和 Wnt7b 培养基培养软骨细胞,为快速诱导软骨细胞退变,含 Wnt7b 的上清分别进行低倍数稀释(10 倍和 50 倍),本实验中细胞分为 3 组:对照组、含 Wnt7b 上清 10 倍稀释组和 50 倍稀释组。倒置显微镜下观察各组软骨细胞的密度与形态。

1.2.2 克隆人 Wnt7b 基因至 PCDH-GFP 载体 人 Wnt7b 基因 PCR 引物上游引物序列 *attctagagctagcgccac-cATGCACAGAACTTTTCGCAAGT*,下游引物序列:*atccatttaaatcgTCACTTGCAGGTGAAGACC*,斜体部分为和载体 PCDH-GFP 相同的重组序列。扩增大小为 1050 bp,分别经核酸电泳回收、重组转化、菌落 PCR 鉴定和测序得到 PCDH-Wnt7b 重组质粒。

1.2.3 Western Blot 法检测蛋白表达 蛋白样品处理:原代细胞培养于含 Wnt7b 的培养基中,24 h 后裂解细胞和蛋白浓度测定,蛋白变性后备用。

Western blot 测定:蛋白样品电泳和转膜,10% BSA 室温封闭 1 h;一抗用封闭液 1:1000 稀释,4 °C 孵育过夜,TBST 洗膜 4 次,每次 10 min;二抗室温孵育 1 h,二抗用 TBST 1:20 000 稀释,TBST 洗膜 4 次,每次 10 min;化学发光法检测,X 胶片曝光显影。

1.2.4 Real time PCR 检测基因表达 原代软骨细胞培养于不同稀释度 Wnt7b 因子中 24 h,抽提总 RNA 及浓度,取 2 μg RNA 逆转录。进行 Real time PCR 检测。引

物序列如下 A-can 上游:GCAGGGATAACGGACTGA AG, A-can 下游:GAGTAAAGTGGTCATA GTTCAG CTTG; Sox9 上游:ATCTTCAAGGCGCTGCAA, Sox9 下游:CGGTGGACCCTGAGATTG; ADAMTS5 上游 AGCCATCCTGTTACACAGAG, ADAMTS5 下游: CATTCCCAGGGTGTTCACAT; GAPDH 上游:TTCAA CGGCACAGTCAAGG, GAPDH 下游:CTCAGCAC-CAGCATCACC。

1.3 统计学方法

所有数据以均数±标准差表示,用 SPSS15.0 软件进行统计分析,组间差异采用单因素方差分析中 LSD-*t* 检验, $P<0.05$ 为差异有统计学意义。

2 结果

2.1 构建 PCDH-Wnt7b 重组质粒转染 293ft 细胞及鉴定其表达

PCR 扩增人 Wnt7b 基因,大小为 1050 bp,如(图 1A)的左图,克隆至 PCDH-GFP 空载体上得到 PCDH-Wnt7b 重组质粒,菌落 PCR 筛选 10 个菌落,其中有 4 个为阳性菌落,如(图 1A)的右图。测序正确后,PCDH-GFP 和 PCDH-Wnt7b 分别转染 293ft 细胞,分别见(图 1B)的 PCDH-GFP 组和 PCDH-Wnt7b 组,转染 48 h 后,分别检测 PCDH-GFP 组和 PCDH-Wnt7b 组的 Wnt7b 的蛋白表达(图 1C)。

2.2 软骨细胞形态观察

培养 24 h 后,对照组细胞呈多角形、短梭形等形态,紧密排列成铺路石状;Wnt7b 组细胞形态逐渐变得细长(图 2)。

2.3 检测 II 型胶原和基质金属蛋白酶(MMP3 和 MMP13)蛋白表达

含 Wnt7b 因子的培养基分别稀释 10 倍(B 组)和 50 倍(C 组)后培养软骨细胞,24 h 后分别检测对照组(A 组)和实验组(B 组和 C 组)的 MMP3、MMP13 和 II 型胶原的蛋白表达(图 3)。

2.4 基因 mRNA 水平检测

含 Wnt7b 因子的培养基分别稀释 10 倍(B 组)和 50 倍(C 组)后培养软骨细胞,24 h 后分别检测对照组(A 组)和实验组(B 组和 C 组)的 Sox9、A-can 和 X 型胶原(Col X)及 ADAMTS5 的 mRNA 的表达(图 4)。

3 讨论

骨关节炎是导致老年人疼痛和行动不便的主要原因之一,对于晚期的骨关节炎,除了改善症状,关节置换手术常常是有必要的。研究其发病机制并找出其治疗靶点尤为重要。本文中通过扩增人的 Wnt7b 基因在真核细胞中过表达,收集细胞上清进行稀释后培养软骨细

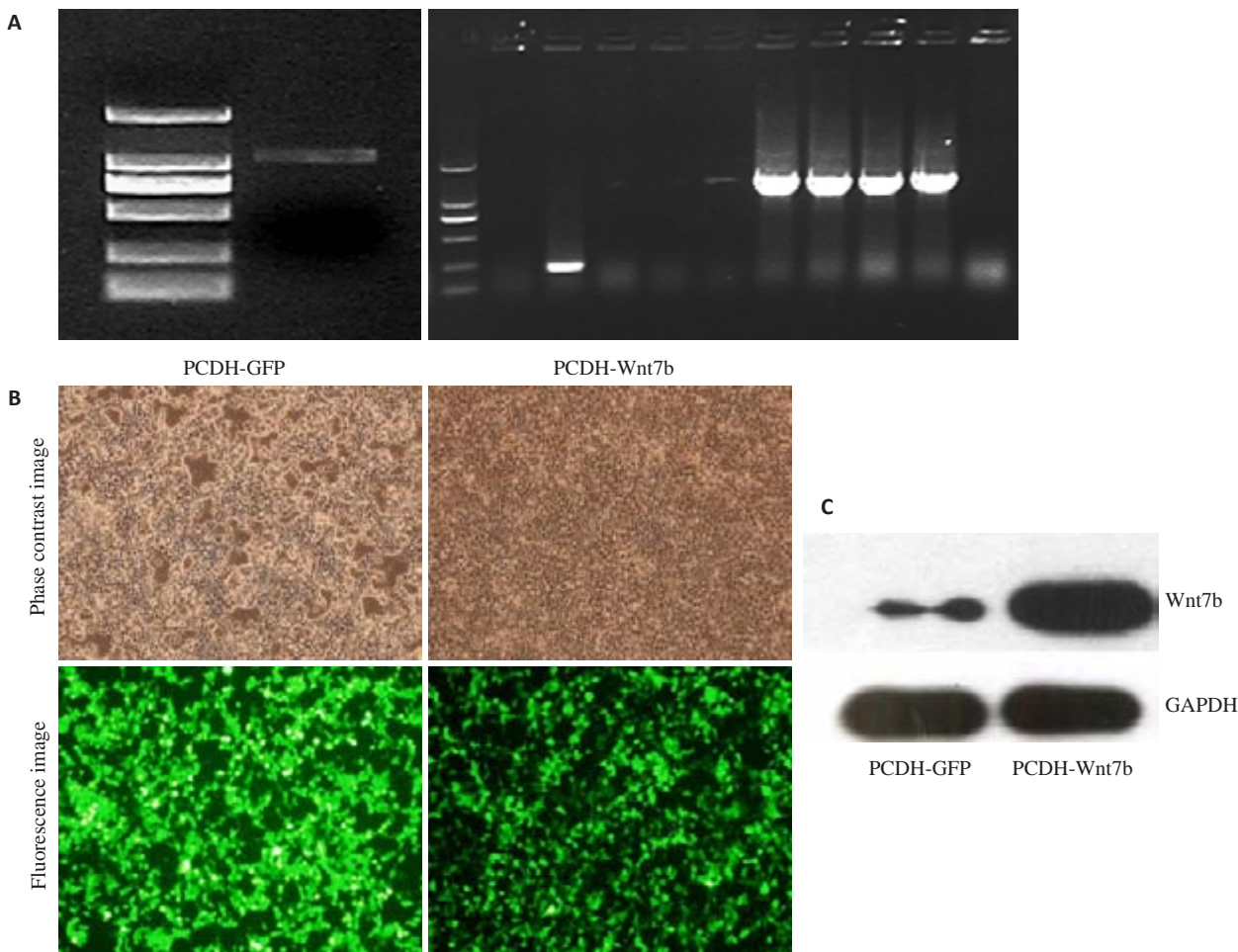


图1 在293ft中高效表达PCDH-Wnt7b重组质粒
Fig.1 Efficient expression of PCDH-Wnt7b in 293ft cell line. A: Agarose electrophoresis of Wnt7b gene (left) and positive colonies of bacteria screened by PCR (right); B: 293ft cell line at 48 h after transfection with PCDH-GFP and PCDH-Wnt7b (Original magnification: $\times 200$); C: Expression levels of Wnt7b in 293ft cell line at 48 h after transfection with PCDH-GFP and PCDH-Wnt7b.

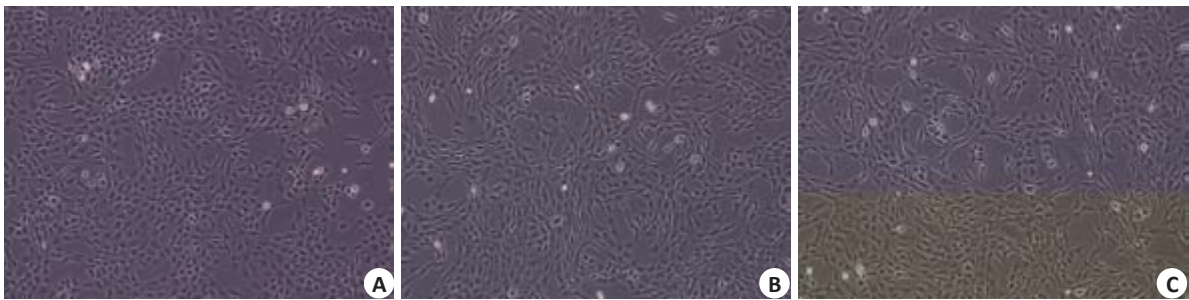


图2 倒置显微镜下各组细胞形态观察
Fig.2 Cell morphology observed under inverted microscope (Original magnification: $\times 100$). A: Control group; B, C: Cells cultured in the supernatant containing Wnt7b at 10-fold and 50 fold dilution, respectively.

胞,分别从软骨细胞形态改变、和基因表达改变方面进行观察和比较。
含 Wnt7b 因子的培养基干预软骨细胞,在 24 h 后即可见软骨细胞形态发生显著改变,细胞由原来的多角形变成长梭形,而对照培养基培养的细胞变得更为细

长,失去软骨细胞原有的形态特征,提示软骨细胞可能发生退变,但需进一步从基因表达的改变进行确定。
关节软骨细胞外基质的丢失是导致退行性骨关节炎和其他炎性关节炎的共同特征^[11-12],关节软骨细胞基质主要由 II 型胶原和蛋白多糖构成。因此判断软骨

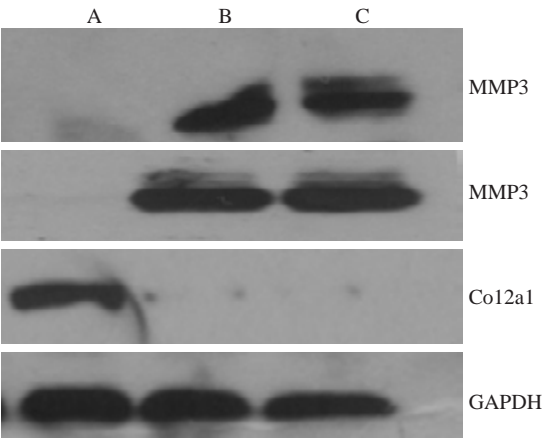


图3 Wnt7b对Ⅱ型胶原和基质金属蛋白酶MMP3及MMP13的蛋白表达影响

Fig.3 Effect of Wnt7b on protein expressions of type II collagen, MMP3 and MMP13. Wnt7 promoted the degradation of type II collagen and increased the expression of MMP3 and MMP13 in the chondrocytes cultured in the supernatant at 10-fold and 50-fold dilutions.

退变的关键在于Ⅱ型胶原和蛋白多聚糖的降解与否及调控基因的表达。通过检测Ⅱ型胶原、基质金属蛋白酶(包括MMP13和MMP3)的蛋白表达水平,发现经过Wnt7b因子干预的细胞Ⅱ型胶原发生显著的降解,而在正常软骨细胞中低表达的MMP13和MMP3,经过Wnt7b因子的作用,表达水平显著提高。符合软骨退变的基因改变特征。

蛋白多聚糖在软骨细胞中起到支撑作用,其中以Aggrecan基因为代表,Wnt7b因子明显下调aggrecan(A-can)的mRNA表达水平,说明软骨细胞中蛋白多聚糖发生降解。Aggrecan基因的表达水平是主要受到ADAMTS5基因的调控作用,在Wnt7b作用下,相对于对照组细胞,ADAMTS5基因的核酸水平显著提高,进一步说明Wnt7b不仅通过上调MMP13和MMP3的表达来对Ⅱ型胶原蛋白进行降解,同时通过提高ADAMTS5的表达来降解蛋白多聚糖,从而使软骨细胞发生退变作用。

Sox9是软骨细胞中标志性的转录因子,调控软骨

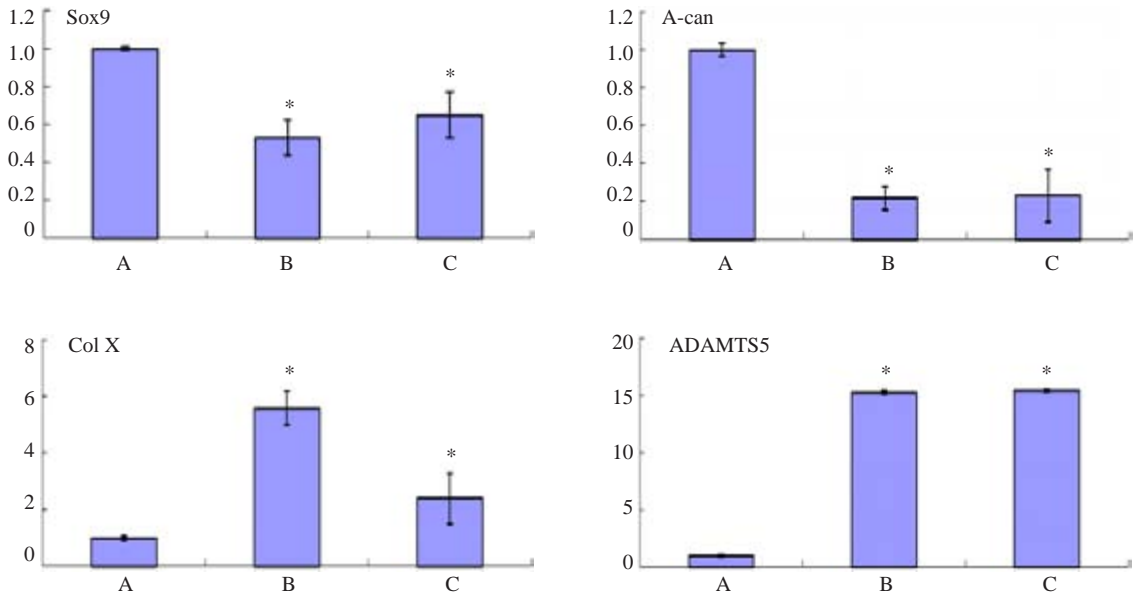


图4 Wnt7b对Sox9、A-can、Col X和ADAMTS5基因的mRNA的表达影响

Fig.4 Effect of Wnt7b on the mRNA expressions of Sox9, A-can, Col X and ADAMTS5. A: Control group; B, C: Cells cultured in the supernatant containing Wnt7b at 10-fold and 50 fold dilution, respectively. Compare with control group, *P<0.05.

细胞中蛋白多聚糖和Ⅱ型胶原的表达^[13-14]。具有保持软骨细胞的细胞表面而抑制软骨细胞退变的作用^[15],在本研究中发现Wnt7b因子明显下调Sox9的表达。除了以上基因的对软骨细胞退变的调控作用,Col X为软骨退变过程中重要的标志基因,在Wnt7b因子干预后,发现此基因的表达水平也明显提高,进一步证明Wnt7b的促软骨退变作用。

通过在293ft细胞中表达Wnt7b因子并干预软骨细

胞,发现对软骨细胞的形态改变、诱导软骨基质蛋白降解及上调基质降解酶均具有明显的效应,说明表达的Wnt7b因子具有生物活性和功能,同时Wnt7b可作为软骨退变的防治靶点,但Wnt7b如何通过Wnts/ β -catenin通过调控软骨细胞的退变目前还未有研究。本研究成功构建表达Wnt7b因子并对功能进行验证,对后续的研究提供可靠的实验基础。

参考文献:

- [1] Troeberg L, Nagase H. Proteases involved in cartilage matrix degradation in osteoarthritis[J]. *Biochim Biophys Acta*, 2012, 1824(1, SI): 133-45.
- [2] Lin EA, Liu CJ. The role of ADAMTSs in arthritis[J]. *Protein Cell*, 2010, 1(1): 33-47.
- [3] Wu CW, Tchetina EV, Mwale F, et al. Proteolysis involving matrix metalloproteinase 13 (collagenase-3) is required for chondrocyte differentiation that is associated with matrix mineralization [J]. *J Bone Miner Res*, 2002, 17(4): 639-51.
- [4] Dahlberg L, Billingham RC, Manner P, et al. Selective enhancement of collagenase-mediated cleavage of resident type II collagen in cultured osteoarthritic cartilage and arrest with a synthetic inhibitor that spares collagenase 1(matrix metalloproteinase 1) [J]. *Arthritis Rheum*, 2000, 43(3): 673-82.
- [5] Zhu M, Tang D, Wu Q, et al. Activation of beta-catenin signaling in articular chondrocytes leads to osteoarthritis-like phenotype in adult beta-catenin conditional activation mice [J]. *J Bone Miner Res*, 2009, 24(1): 12-21.
- [6] Takamatsu A, Ohkawara B, Ito M, et al. Verapamil protects against cartilage degradation in osteoarthritis by inhibiting Wnt/beta-Catenin signaling[J]. *PLoS One*, 2014, 9(3): e92699.
- [7] Enochson L, Stenberg J, Brittberg M, et al. GDF5 reduces MMP13 expression in human chondrocytes via DKK1 mediated canonical Wnt signaling inhibition [J]. *Osteoarthritis Cartilage*, 2014, 22(4): 566-77.
- [8] Oh H, Chun CH, Chun JS. Dkk-1 expression in chondrocytes inhibits experimental osteoarthritic cartilage destruction in mice[J]. *Arthritis Rheum*, 2012, 64(8): 2568-78.
- [9] Zhou XD, Li WJ, Jiang LF, et al. Tetrandrine inhibits the Wnt/beta-Catenin signalling pathway and alleviates osteoarthritis: an *in vitro* and *in vivo* study [J]. *Evid Based Complement Alternat Med*, 2013: 809579. doi: 10.1155/2013/809579.
- [10] Ma B, van Blitterswijk CA, Karperien M. A Wnt/beta-catenin negative feedback loop inhibits interleukin-1-induced matrix metalloproteinase expression in human articular chondrocytes [J]. *Arthritis Rheum*, 2012, 64(8): 2589-600.
- [11] Aigner T, Sachse A, Gebhard PM, et al. Osteoarthritis: pathobiology-targets and ways for therapeutic intervention [J]. *Adv Drug Deliv Rev*, 2006, 58(2): 128-49.
- [12] Goldring MB. Update on the biology of the chondrocyte and new approaches to treating cartilage diseases [J]. *Best Pract Res Clin Rheumatol*, 2006, 20(5): 1003-25.
- [13] Bell DM, Leung KK, Wheatley SC, et al. SOX9 directly regulates the type-II collagen gene[J]. *Nat Genet*, 1997, 16(2): 174-8.
- [14] Sekiya I, Tsuji K, Koopman P, et al. SOX9 enhances aggrecan gene promoter/enhancer activity and is up-regulated by retinoic acid in a cartilage-derived cell line, TC6 [J]. *J Biol Chem*, 2000, 275(15): 10738-44.
- [15] Okubo Y, Reddi AH. Thyroxine downregulates Sox9 and promotes chondrocyte hypertrophy [J]. *Biochem Biophys Res Commun*, 2003, 306(1): 186-90.

(编辑:孙昌朋)